

基于 GaN 同质衬底的高迁移率 AlGaN/GaN HEMT 材料

张志荣 房玉龙 尹甲运 郭艳敏 王波 王元刚 李佳 芦伟立 高楠 刘沛 冯志红

Highmobility AlGaN/GaN high electronic mobility transistors on GaN homo-substrates

Zhang Zhi-Rong Fang Yu-Long Yin Jia-Yun Guo Yan-Min Wang Bo Wang Yuan-Gang Li Jia Lu Wei-Li Gao Nan Liu Pei Feng Zhi-Hong

引用信息 Citation: [Acta Physica Sinica](#), 67, 076801 (2018) DOI: 10.7498/aps.67.20172581

在线阅读 View online: <http://dx.doi.org/10.7498/aps.67.20172581>

当期内容 View table of contents: <http://wulixb.iphy.ac.cn/CN/Y2018/V67/I7>

您可能感兴趣的其他文章

Articles you may be interested in

[多层纳米 AlGaN 薄膜制备及其场发射性能](#)

Preparations and field emission properties of multilayer AlGaN nanofilm

物理学报.2016, 65(23): 236803 <http://dx.doi.org/10.7498/aps.65.236803>

[基底表面纳米织构对非晶四面体碳膜结构和摩擦特性的影响研究](#)

Effect of ion-beam surface modification technology on the variation of surface texture

物理学报.2015, 64(3): 036801 <http://dx.doi.org/10.7498/aps.64.036801>

[纳米 FePt 颗粒: MgO 多层复合薄膜的外延生长、微观结构与磁性研究](#)

Epitaxial growth micro-structure and magnetic studies of FePt nanoparticles: MgO multi-layer composite thin films

物理学报.2014, 63(16): 166801 <http://dx.doi.org/10.7498/aps.63.166801>

[硅油基底上受限金属薄膜自组装褶皱的原子力显微镜研究](#)

Atomic force microscopy studies on self-organized wrinkles in constrained metallic films deposited on silicone oil substrates

物理学报.2014, 63(11): 116801 <http://dx.doi.org/10.7498/aps.63.116801>

[氢气引入对宽光谱 Mg 和 Ga 共掺杂 ZnO 透明导电薄膜的特性影响](#)

Influence of H₂ introduction on wide-spectrum Mg and Ga co-doped ZnO transparent conductive thin films

物理学报 2014, 63(3): 036801 <http://dx.doi.org/10.7498/aps.63.036801>

基于GaN同质衬底的高迁移率AlGaN/GaN HEMT材料*

张志荣¹⁾ 房玉龙^{1)†} 尹甲运¹⁾ 郭艳敏¹⁾ 王波¹⁾ 王元刚¹⁾ 李佳¹⁾
芦伟立¹⁾ 高楠¹⁾ 刘沛²⁾ 冯志红¹⁾

1)(专用集成电路国家级重点实验室, 河北半导体研究所, 石家庄 050051)

2)(中国航天标准化与产品保证研究所, 北京 100071)

(2017年12月4日收到; 2018年2月1日收到修改稿)

研究了表面预处理对GaN同质外延的影响, 获得了高电子迁移率AlGaN/GaN异质结材料. 通过NH₃/H₂混合气体与H₂交替通入反应室的方法对GaN模板和GaN半绝缘衬底进行高温预处理. 研究结果表明, NH₃/H₂能够抑制GaN的分解, 避免粗糙表面, 但不利于去除表面的杂质, 黄光带峰相对强度较高; H₂促进GaN分解, 随时间延长GaN分解加剧, 导致模板表面粗糙不平, AlGaN/GaN HEMT材料二维电子气迁移率降低. 采用NH₃/H₂混合气体与H₂交替气氛模式处理模板或衬底表面, 能够清洁表面, 去除表面杂质, 获得平滑的生长表面和外延材料表面, 有利于提高AlGaN/GaN HEMT材料电学性能. 在GaN衬底上外延AlGaN/GaN HEMT材料, 2DEG迁移率达到2113 cm²/V·s, 电学性能良好.

关键词: 金属有机物化学气相沉积, 氮化镓, 热处理, 同质外延

PACS: 68.55.-a, 73.40.Kp, 78.55.Cr

DOI: 10.7498/aps.67.20172581

1 引言

GaN材料具有禁带宽度大、电子饱和和漂移速度高和介电常数小等特点, 在高频、大功率电子器件应用方面具有巨大的潜力^[1-3]. 目前, GaN材料主要通过SiC, Si和蓝宝石等异质衬底上外延获得, 受限于异质衬底与外延层之间晶格失配和热失配, GaN外延材料位错密度高达10⁸—10¹⁰ cm⁻², 严重影响器件性能和寿命^[4]. GaN衬底晶格常数和热膨胀系数与外延材料完全匹配, 位错密度可低至10⁵ cm⁻², 有利于获得高质量GaN材料及高性能器件^[5-7]. 近年来, 基于GaN衬底同质外延AlGaN/GaN高电子迁移率晶体管(high electron mobility transistors, HEMT)逐渐引起人们的广泛关注.

GaN表面极易吸附C, O, Si等杂质, 引起GaN缓冲层背景载流子浓度增多^[8-10], 导致AlGaN/GaN HEMT器件漏电, 是GaN衬底同质外延AlGaN/GaN HEMT材料的瓶颈. Koblmüller等^[11]通过分子束外延方法生长了AlGaN/GaN HEMT, 使用GaN生长/分解的交替过程去除表面的C, O杂质, 获得清洁的生长界面, 界面C, O杂质浓度低于1 × 10¹⁷ cm⁻³. 金属有机化学气相沉积(metal-organic chemical vapor deposition, MOCVD)是生长AlGaN/GaN HEMT材料的常用方法, 通常在生长前采用H₂高温预处理去除表面杂质^[12], 可以减少衬底表面杂质对外延材料的影响. 然而, H₂在高温下(> 800 °C)会刻蚀GaN衬底, 粗化衬底表面^[13-15], 影响HEMT材料的外延材料粗糙度, 降低AlGaN/GaN HEMT材料二维电子气(two-dimensional electron gas, 2DEG)

* 国家重点研究发展计划(批准号: 2017YFB0404100)资助的课题.

† 通信作者. E-mail: yvloong@163.com

的迁移率^[16]. Chen等^[17]使用MOCVD同质外延AlGaIn/GaN HEMT, 在升温过程中采用“两步法”, 利用低速率生长的GaIn缓解H₂对GaIn表面的刻蚀, 获得平滑的衬底表面和外延材料表面, AlGaIn/GaN HEMT材料2DEG达到2068 cm²/V·s, 具有良好的电学性能, 但生长界面的O含量高达 1×10^{20} cm⁻³. NH₃能抑制GaIn在高温下分解, 保护GaIn表面. Detchprohm等^[18]在GaIn衬底上生长InGaIn/GaN光电二极管, 升温过程中引入NH₃保护衬底表面, 生长的LED材料表面光滑, 表面粗糙度(root-mean-square, RMS)为0.373 nm (5 μm × 5 μm), 但NH₃对GaIn表面杂质刻蚀作用较弱.

为降低衬底表面杂质污染物对外延材料性能的影响, 同时避免粗糙表面, 本文采用NH₃/H₂混合气体和H₂交替气氛热处理的方式预处理GaIn表面, 研究了交替气氛热处理过程中H₂热处理时间对GaIn表面刻蚀以及材料性能的影响, 同时研究了2DEG迁移率变化的物理机理. 将此方法应用在半绝缘GaIn衬底上, 获得了表面形貌良

好的AlGaIn/GaN HEMT材料, 2DEG迁移率大于2100 cm²/V·s.

2 实验

使用MOCVD设备在2英寸(0001)面蓝宝石衬底上生长了GaIn模板材料, GaIn厚度2 μm, X射线单晶衍射(002)面和(102)面摇摆曲线半高宽分别为240 arcsec和330 arcsec. 衬底预处理具体过程如图1(a)所示. 首先在N₂气氛中升温至800 °C, 通入NH₃以避免GaIn分解; 然后继续升温至1030 °C, N₂切换为H₂并保持恒温5 min; 停止通入NH₃, 在H₂中保持恒温0—3 min, 最后继续通入NH₃. 整个热处理过程为10 min. 分别以三甲基镓(TMg)、三甲基铝(TMA)和NH₃作为Ga源、Al源和N源, H₂为载气, 在GaIn模板和GaIn衬底上生长AlGaIn/GaN HEMT结构, 如图1(b)所示. 所用2 inch半绝缘GaIn衬底, 厚度为360 μm, 电阻率大于 1×10^6 Ω·cm.

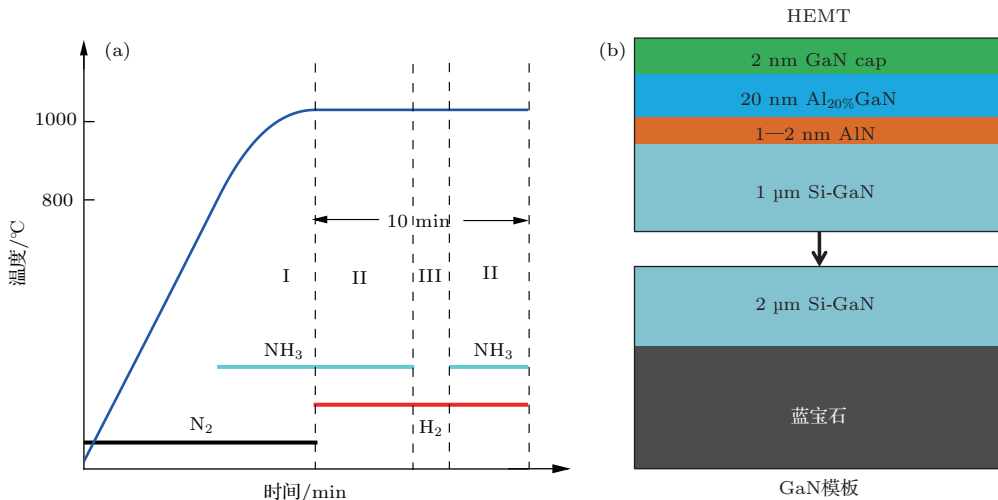


图1 (a) 热处理过程示意图, 包括N₂升温(I); NH₃/H₂混合气体热处理(II和IV); H₂热处理(III); (b) GaIn模板生长AlGaIn/GaN HEMT结构示意图

Fig. 1. (a) Illustration of thermal treatment process, conclude temperature ramping process in N₂ (I), thermal treatment process in NH₃/H₂ mixed gas (II and IV) and H₂Gas (III); (b) illustration of AlGaIn/GaN HEMT structure on GaIn templates.

使用光学显微镜(optical microscope, OM)和原子力显微镜(atomic force microscope, AFM)观察GaIn模板和AlGaIn HEMT结构的表面形貌; 使用霍尔测试仪测试AlGaIn/GaN HEMT结构2DEG迁移率; 使用光荧光谱仪(photoluminescence, PL)表征常温下(300 K) AlGaIn/GaN

HEMT结构光学性能, 激发光源为325 nm He-Cd光器; 使用X射线衍射仪(X-ray diffraction, XRD)测量同质外延GaIn材料(002)面和(102)面摇摆曲线半高宽; 使用二次离子质谱(secondary ion mass spectrometry, SIMS)分析GaIn衬底与外延层生长界面的C, O杂质浓度.

3 结果与讨论

为了观察NH₃/H₂混合气体和H₂交替气氛热处理对GaN表面的影响,热处理过程结束后反应室立即停止加热并冷却至室温,图2(a)—(d)分别为热处理前及H₂热处理0, 1和3 min的GaN表面OM图. 图2(a)与图2(b)中GaN表面光滑,且外延厚度一致,表明完全的NH₃/H₂混合气体高温下没有刻蚀GaN表面或刻蚀程度较小;图2(c)中模板表面出现密集的点状坑,说明高温下H₂会刻蚀

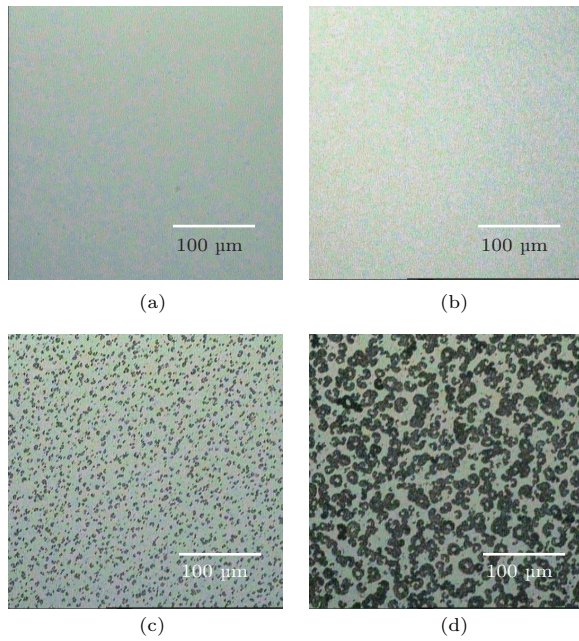


图2 GaN表面OM形貌 (a) 热处理前;(b)—(d) H₂热处理0, 1和3 min

Fig. 2. OM morphologies of GaN templates before (a) and after thermal treatment with H₂ treatment 0 minute (b), 1 minute (c) and 3 minutes (d), respectively.

GaN表面;图2(d)中模板表面出现网状凹坑,这是由于H₂热处理时间加长,加剧了GaN表面刻蚀,使GaN表面出现较大的网状坑.图3(a)—(d)分别为热处理前及H₂热处理0, 1和3 min的GaN AFM图.图3(a)—(c)中,GaN表面平整,台阶清晰,表面粗糙度较小(如表1),说明1 min时间以内的H₂热处理对GaN表面形貌影响较小;图3(d)出现明显的亮色区和暗色区,分别代表表面的凸起和凹陷,且表面粗糙度急剧变大,这与OM图相对应,说明长时间的H₂热处理严重刻蚀GaN表面,导致模板表面粗糙不平.

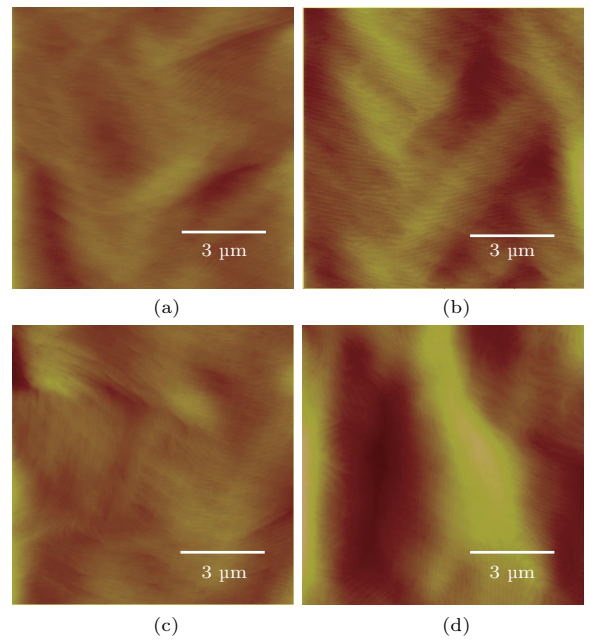


图3 GaN表面AFM(10 μm × 10 μm)形貌 (a) 热处理前;(b)—(d) H₂热处理0, 1和3 min

Fig. 3. AFM (10 μm × 10 μm) morphologies of GaN templates before (a) and after thermal treatment with H₂ treatment 0 minute (b), 1 minute (c) and 3 minutes (d), respectively.

表1 热处理后的GaN模板及原位生长AlGa_n/Ga_n HEMT材料参数

Table 1. Properties of GaN template after thermal treatment and *in-situ* growth AlGa_n/Ga_n HEMT structures.

样品	H ₂ 热处理 GaN 模板		AlGa _n /Ga _n HEMT					
	时间/min	RMS/nm	RMS(10 × 10 μm ²)/nm	迁移率/cm ² ·V ⁻¹ ·s ⁻¹	(002)/arcsec	(102)/arcsec	I _b /a.u.	I _y /I _b
	热处理前	0.540	—	—	—	—	—	—
A	0	0.615	0.487	1915	235	326	0.08	14
B	1	0.632	0.824	2136	228	312	0.1	6
C	3	1.935	3.276	1790	242	342	0.003	16

采用交替气氛模式热处理 GaN 模板并原位生长 AlGaIn/GaN HEMT 结构, 热处理过程中 H₂ 时间分别为 0, 1, 3 min, 样品记为 A, B, C. 图 4 为 AlGaIn/GaN HEMT 表面 AFM 形貌. 图 4(a) 显示 AlGaIn/GaN HEMT 表面平滑, *RMS* < 0.5 nm; 图 4(b) 中 AlGaIn/GaN HEMT 表面出现坑状与丘陵状形貌, 表面粗糙度增大; 图 4(c) 中表面出现明显的凸起与凹陷, 甚至出现深坑(黑色区域), 已不能满足器件工艺要求. 对比 GaN 模板和 AlGaIn/GaN HEMT 表面形貌, 随 H₂ 热处理时间延长, AlGaIn/GaN HEMT 结构的表面形貌与 GaN 模板的表面形貌变化一致. 说明随着 H₂ 热处理时间延长, 模板表面 GaN 刻蚀程度增大. H₂ 热处理时间达到 3 min 后, GaN 表面粗糙不平, 导致 AlGaIn/GaN HEMT 材料表面形貌严重恶化.

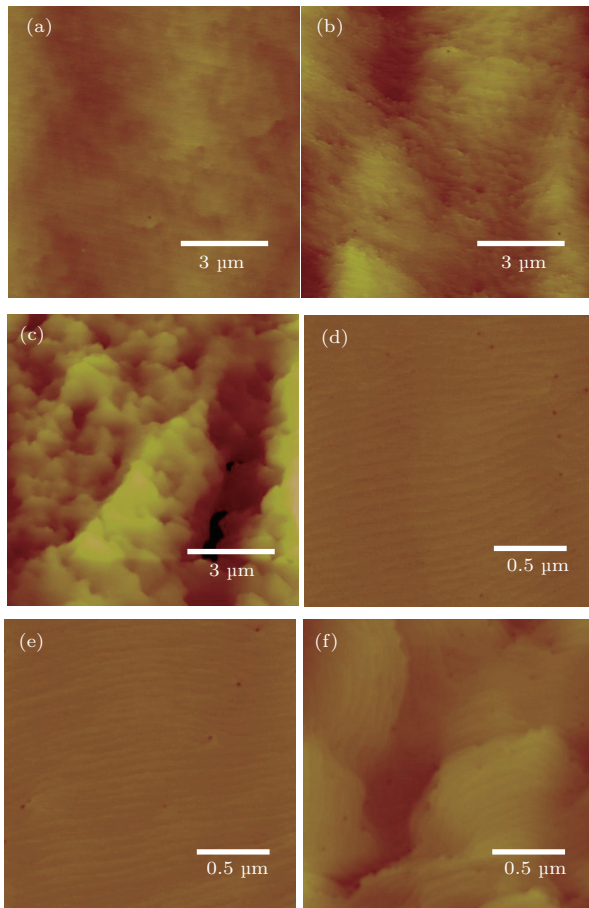


图 4 AlGaIn/GaN HEMT 表面 AFM (a)—(c) 分别为热处理过程中 H₂ 处理 0, 1 和 3 min 10 μm × 10 μm 图; (d)—(f) 为对应 2 μm × 2 μm 图
Fig. 4. AFM morphologies of AlGaIn/GaN HEMT surfaces: (a)—(c) are the 10 μm × 10 μm morphologies with H₂ treatment time are 0 minute, 1 minute and 3 minutes in thermal treatment process, respectively, as (d)—(f) are corresponding 2 μm × 2 μm morphologies.

图 4(d)—(f) 为样品 A, B, C 扫描范围为 2 μm × 2 μm 的表面 AFM 形貌, 从图 4(d) 和图 4(e) 中可以看到明显的 GaN 台阶流生长形貌, 说明在 H₂ 热处理 1 min 内的 GaN 模板上生长了高质量的 AlGaIn/GaN HEMT 材料. 而经过 3 min H₂ 热处理的模板表面由于受到刻蚀程度严重, 生长的 AlGaIn/GaN HEMT 材料表面粗糙不平, 如图 4(f) 所示.

使用霍尔测试仪测试了 AlGaIn/GaN HEMT 2DEG 迁移率. 采用交替气氛模式处理 GaN 模板表面, H₂ 时间为 1 min 时生长的 AlGaIn/GaN HEMT 迁移率明显高于 H₂ 时间为 0 min 和 3 min 时的迁移率, 如图 5 所示. 根据文献 [8, 10] 报道, GaN 表面极易吸附空气中的 C, O 等杂质, 影响材料及器件性能. 高温下 H₂ 刻蚀 GaN, 表面杂质发生解吸附, 有利于提升材料质量, 改善迁移率; 但是长时间 H₂ 热处理会加剧 GaN 分解, GaN 表面粗糙化使得界面散射加剧, 2DEG 迁移率急剧降低 [19]. 经过 1 min 的 H₂ 热处理, GaN 模板表面的杂质浓度降低, 获得清洁表面; 同时 H₂ 刻蚀 GaN 表面时间较短, 避免形成粗糙表面, 生长 AlGaIn/GaN HEMT 后表面平整, 材料性能提高, 2DEG 迁移率大于 2100 cm²/V·s, 如表 1 所列.

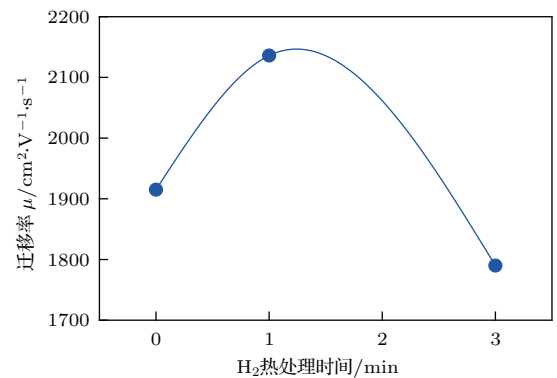


图 5 GaN 同质外延 AlGaIn/GaN HEMT 2DEG 迁移率
Fig. 5. 2DEG mobility of AlGaIn/GaN HEMT on a GaN homogeneous substrate.

测试了 AlGaIn/GaN HEMT 的室温 (300 K) PL 谱. 图 6 所示为以 GaN 近带边峰 (361 nm 附近) 强度 (*I_b*) 归一化的 PL 图谱, 560 nm 附近的峰为黄光峰. 一般认为黄光峰的产生机理及黄光峰强度 (*I_y*) 与材料中的 C, O 等杂质及相关缺陷有关 [20–22]. 样品 A 和 C 对应的 AlGaIn/GaN HEMT 黄光峰相对强度 (*I_y*/*I_b*) 远高于样品 B 对

应的AlGaIn/GaN HEMT黄光峰相对强度; 样品C中GaN带边峰基本不可见(如表1所列). 推测认为: 1) NH₃抑制了GaN表面分解, 使表面吸附的C, O杂质没有脱附或脱附不完全, 导致GaN外延时材料黄光峰相对强度较高, 因此样品A对应的AlGaIn/GaN HEMT材料的黄光峰相对强度较高^[20,21]; 2) 高温下H₂促进GaN分解, 模板表面吸附的杂质脱附比较完全, 因此, 样品B对应的AlGaIn/GaN HEMT材料的黄光峰相对强度较低; 3) 长时间的H₂刻蚀导致粗糙的生长界面, 影响GaN的生长机理及晶体质量, 样品C对应的AlGaIn/GaN HEMT材料的GaN近带边峰强度降低, 黄光峰相对强度增高^[22].

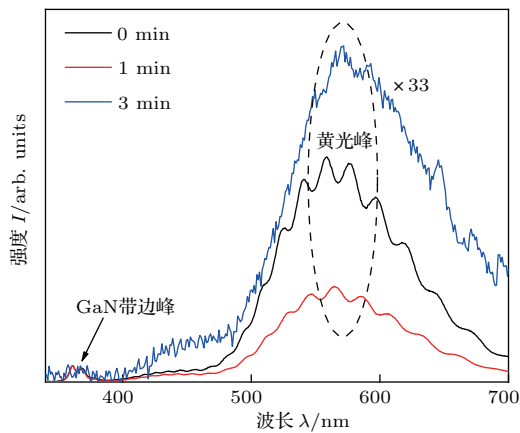


图6 GaN同质外延AlGaIn/GaN HEMT结构PL图谱
Fig. 6. PL spectra of AlGaIn/GaN HEMT on a GaN homogeneous substrate.

表2 已有报道的GaN衬底同质外延AlGaIn/GaN HEMT电学性能及本文数据

Table 2. Statistical electrical properties data of AlGaIn/GaN HEMT on a GaN homogeneous substrate.

研究人员	迁移率/cm ² ·V ⁻¹ ·s ⁻¹	面电子密度/cm ⁻²
Khan et al. ^[23]	1650	1.4 × 10 ¹³
Tomás et al. ^[24]	2110	1.1 × 10 ¹³
Chen et al. ^[17]	2068	8.2 × 10 ¹²
Piotrowska et al. ^[25]	1210	1.64 × 10 ¹³
本文	2113	9.6 × 10 ¹²

在2 inch GaN衬底上外延AlGaIn/GaN HEMT材料, 采用交替气氛模式处理GaN衬底表面, H₂时间为1 min, GaN厚度约1.4 μm. 图7为GaN衬底生长的AlGaIn/GaN HEMT表面AFM(2 μm × 2 μm)图片, 可以看到规则有序且平直排列的原子台阶, 表面粗糙度为0.126 nm, 表面质量

较高. 图8为GaN同质外延材料(002)面和(102)面摇摆曲线, 半高宽分别为65 arcsec和62 arcsec, 晶体质量高. 室温Hall测试结果中, 2DEG迁移率和浓度分别为2113 cm²/V·s和9.6 × 10¹² cm⁻², 电学性能良好, 迁移率在已有报道中最高, 如表2所列. SIMS谱显示生长界面处C, O杂质浓度分别为4 × 10¹⁶ cm⁻³和9 × 10¹⁶ cm⁻³, 杂质浓度低,

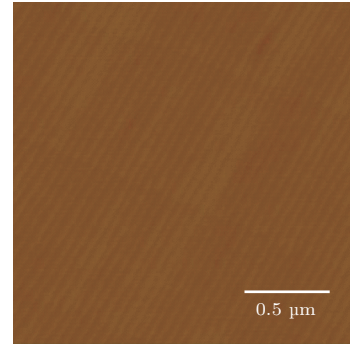


图7 GaN同质外延AlGaIn/GaN HEMT表面AFM(2 μm × 2 μm)

Fig. 7. AFM morphology (2 μm × 2 μm) of AlGaIn/GaN HEMT surface on a GaN homogeneous substrate.

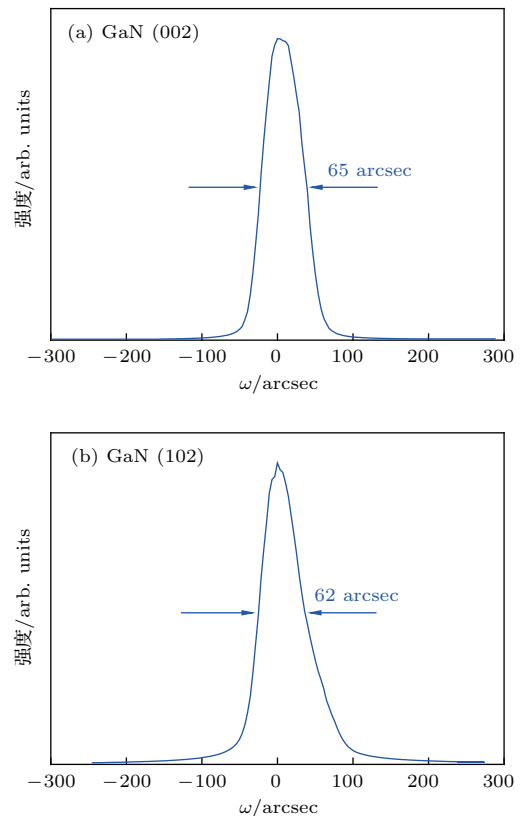


图8 GaN同质外延材料XRD(002)面(a)和(102)面(b)摇摆曲线

Fig. 8. XRD rocking curves of (002) (a) and (102) (b) peaks of the AlGaIn/GaN heterostructure grown on a GaN homogeneous substrate.

如图9所示. 说明NH₃/H₂混合气体和H₂交替气氛热处理可以有效清洁 GaN 衬底表面, 获得高迁移率 AlGaN/GaN HEMT 材料.

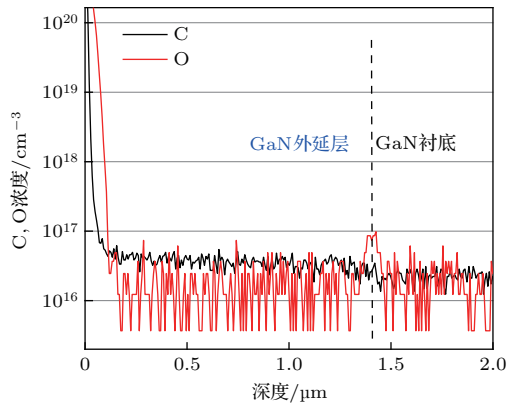


图9 GaN衬底同质外延AlGaN/GaN HEMT中C, O杂质SIMS谱, 0 μm为材料表面

Fig. 9. SIMS impurity profiles of C, O in the epilayer of an AlGaN/GaN HEMT on a GaN homogeneous substrate. The surface is located at 0 μm.

4 结 论

采用NH₃/H₂混合气体和H₂交替气氛热处理的方式, 分别在GaN模板和半绝缘GaN衬底上外延AlGaN/GaN HEMT材料. 结果表明, H₂能够去除GaN表面C, O杂质, 降低杂质浓度, 获得清洁表面; NH₃/H₂混合气体可以抑制高温刻蚀GaN, 获得平滑的材料表面; 采用NH₃/H₂混合气体和H₂交替气氛热处理衬底有利于生长表面光滑、黄光峰相对强度较小、2DEG迁移率高的AlGaN/GaN HEMT材料. 在采用该方式处理的GaN衬底上同质外延AlGaN/GaN HEMT材料, 表面平整, 晶体质量高, 2DEG迁移率达到2113 cm²/V·s, 具有良好的电学性能.

参考文献

- [1] Fang Y L, Feng Z H, Yin J Y, Zhang Z R, Lü Y J, Dun S B, Liu B, Li C M, Cai S J 2015 *Phys. Status Solidi B* **252** 1006
- [2] Khan M A, Kuznia J N, Olson D T, Schaff W J 1994 *Appl. Phys. Lett.* **65** 1121
- [3] Fang Y L, Feng Z H, Li C M, Song X B, Yin J Y, Zhou X Y, Wang Y G, Lü Y J, Cai S J 2015 *Chin. Phys. Lett.* **32** 037202

- [4] Bajo M M, Hodges C, Uren M J, Kuball M 2012 *Appl. Phys. Lett.* **101** 033508
- [5] Iwata S, Kubo S, Konishi M, Saimei T, Kurai S, Taguchi T, Kainosho K, Yokohata A 2003 *Mat. Sci. Semicon. Proc.* **6** 527
- [6] Kotani J, Yamada A, Ishiguro T, Tomabechi S, Nakamura N 2016 *Appl. Phys. Lett.* **108** 152109
- [7] Arslan E, Altındal Ş, Özçelik S, Ozbay E 2009 *J. Appl. Phys.* **105** 023705
- [8] Lee W, Ryou J H, Yoo D, Limb J, Dupuis R D 2007 *Appl. Phys. Lett.* **90** 093509
- [9] Oshimura Y, Takeda K, Sugiyama T, Iwaya M, Kamiyama S, Amano H, Akasaki I, Bandoh A, Udagawa T 2010 *Phys. Status Solidi C* **7** 1974
- [10] Demchenko D O, Diallo I C, Reshchikov M A 2016 *J. Appl. Phys.* **119** 035702
- [11] Koblmüller G, Chu R M, Raman A, Mishra U K, Speck J S 2010 *J. Appl. Phys.* **107** 043527
- [12] Bermudez V M 2004 *Surf. Sci.* **565** 89
- [13] Koleske D D, Wickenden A E, Henry R L, Twigg M E, Culbertson J C, Gorman R J 1998 *Appl. Phys. Lett.* **73** 2018
- [14] Koleske D D, Wickenden A E, Henry R L, Culbertson J C, Twigg M E 2001 *J. Cryst. Growth* **223** 466
- [15] Fathallah W, Boufaden T, Jani B E 2007 *Phys. Status Solidi C* **4** 145
- [16] Manfra M J, Pfeiffer L N, West K W, Stormer H L, Baldwin K W, Hsu J W P, Lang D V 2000 *Appl. Phys. Lett.* **77** 2888
- [17] Chen J T, Hsu C W, Forsberg U, Janzén E 2015 *J. Appl. Phys.* **117** 085301
- [18] Detchprohm T, Xia Y, Xi Y, Zhu M, Zhao W, Li Y, Schubert E F, Liu L, Tsvetkov D, Hanser D, Wetzel C 2007 *J. Cryst. Growth* **298** 272
- [19] Zanato D, Gokden S, Balkan N, Ridley B K, Schaff W J 2004 *Semicond. Sci. Technol.* **19** 427
- [20] Reshchikov M A, Morkoç H 2005 *J. Appl. Phys.* **97** 061301
- [21] Ryou J H, Liu J P, Zhang Y, Horne C A, Lee W, Shen S C, Dupuis R D 2008 *Phys. Status Solidi C* **5** 1849
- [22] Calleja E, Sánchez F J, Basak D 1997 *Phys. Rev. B* **55** 4689
- [23] Khan A M, Yang J W, Knap W, Frayssinet E, Hu X, Simin G, Prystawko P, Leszczynski M, Grzegory I, Porowski S, Gaska R, Shur M S, Beaumont B, Teisseire M, Neu G 2000 *Appl. Phys. Lett.* **76** 3807
- [24] Tomás A P, Fontserè A, Llobet J, Placidi M, Rennesson S, Baron N, Chenot S, Moreno J C, Cordier Y 2013 *J. Appl. Phys.* **113** 174501
- [25] Piotrowska A B, Kamińska E A, Wojtasiak W, Gwarek W, Kucharski R, Zajc M, Prystawko P, Kruszewski P, Ekielski M, Kaczmarek J, Kozubal M, Trajnerowicz A, Taube A 2016 *ECS Trans.* **75** 77

Highmobility AlGa_N/Ga_N high electronic mobility transistors on Ga_N homo-substrates*

Zhang Zhi-Rong¹⁾ Fang Yu-Long^{1)†} Yin Jia-Yun¹⁾ Guo Yan-Min¹⁾
 Wang Bo¹⁾ Wang Yuan-Gang¹⁾ Li Jia¹⁾ Lu Wei-Li¹⁾
 Gao Nan¹⁾ Liu Pei²⁾ Feng Zhi-Hong¹⁾

1) (National Key Laboratory of ASIC, Hebei Semiconductor Research Institute, Shijiazhuang 050051, China)

2) (China Academy of Aerospace Standardization and Product Assurance, Beijing 100071, China)

(Received 4 December 2017; revised manuscript received 1 February 2018)

Abstract

Gallium nitride (Ga_N) has great potential applications in high-power and high-frequency electrical devices due to its superior physical properties. High dislocation density of Ga_N grown on a foreign substrate leads to poor crystal quality and device reliability. The homo-epitaxial growth of Ga_N material has low dislocation density, which is the foundation of high performance of AlGa_N/Ga_N high-electronic mobility transistor. However, it is difficult to prepare flat surface of Ga_N template or Ga_N substrate in thermal treatment process under the metal-organic chemical vapor deposition (MOCVD) ambient condition in which hydrogen (H₂) is commonly used to clean the substrate surface, i.e., to remove impurities from the substrate surface, since H₂ would greatly enhance Ga_N decomposition in MOCVD high-temperature condition and etch Ga_N into roughness surface.

In this work, an alternation gas model of ammonia/hydrogen (NH₃/H₂) mixed gas and H₂ gas is designed. This technique is used in a thermal treatment process of Ga_N template and substrate by MOCVD. Then, we *in-situ* grow AlGa_N/Ga_N HEMTs (high electron mobility transistors) on Ga_N template and Ga_N substrate, respectively. A series of alternation gas samples with various H₂ treatment times is investigated. Optical microscope and atomic force microscope are used to observe the morphologies of Ga_N template and AlGa_N/Ga_N HEMTs and two-dimensional electron gas (2DEG) mobility and density of AlGa_N/Ga_N HEMTs are measured by contactless Hall measurement. Optical properties of AlGa_N/Ga_N HEMTs are analyzed by photoluminescence at room temperature. The residual impurities of C and O in the Ga_N epilayer and the interfacial region between Ga_N epilayer and Ga_N substrate are analyzed by secondary ion mass spectrometry.

The study results show that H₂ enhances Ga_N decomposition in MOCVD at high temperature, and Ga_N decomposition greatly strengthens with H₂ treatment time increasing leading to rough surface and the decrease of 2DEG mobility. The NH₃/H₂ mixed gas could suppress Ga_N decomposition and avoid rough surface, but go against cleaning out the purity from Ga_N surface, and the relative intensity of the yellow band is higher. The NH₃/H₂ mixed gas and H₂ gas alternate thermal treatment model with proper H₂ treatment time on Ga_N template or Ga_N substrate, not only obtains atomically flat surface of Ga_N template and HEMT structure, but also cleans out the purity from Ga_N surface, which is conducive to the increase of the electric properties of HEMT material. The highest 2DEG mobility reaches to 2136 cm²/V·s with 1 min H₂ treatment in the alternate gas thermal treatment process grown on Ga_N templates and the electrical properties of HEMT material turn excellent.

* Project supported by the National Key Research and Development Program of China (Grant No. 2017YFB0404100).

† Corresponding author. E-mail: yvloong@163.com

Finally, an alternate model with 5 min NH_3/H_2 mixed gas followed by 1 min H_2 and then 4 min mixed gas of thermal treatment process is used, the surface morphology of HEMT grown on GaN substrate shows highly uniform atomically steps and the root-mean-square value is 0.126 nm for $2\ \mu\text{m} \times 2\ \mu\text{m}$ scan area; the HEMT 2DEG mobility 2113 $\text{cm}^2/\text{V}\cdot\text{s}$ grown on GaN substrate shows good electric properties, the residual impurities of C and O in the interfacial region between GaN epilayer and GaN substrates are below $1 \times 10^{17}\ \text{cm}^{-3}$, showing clean interfacial.

Keywords: metal-organic chemical vapor deposition, GaN, thermal treatment, homo-epitaxial

PACS: 68.55.-a, 73.40.Kp, 78.55.Cr

DOI: [10.7498/aps.67.20172581](https://doi.org/10.7498/aps.67.20172581)